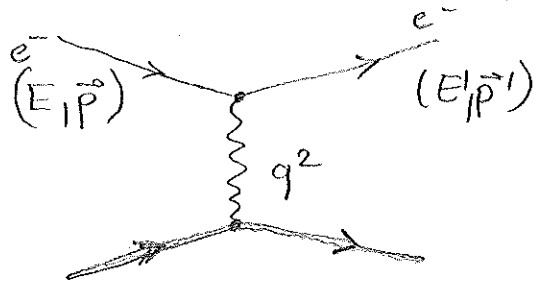


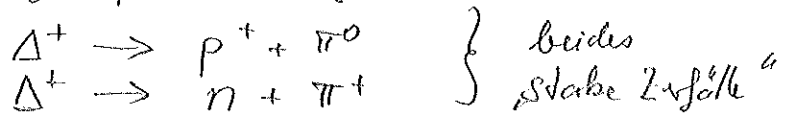
### 4.4 Tiefinelastische Elektronen - Nukleonen Streuung:

Bisher: elastische Streuung

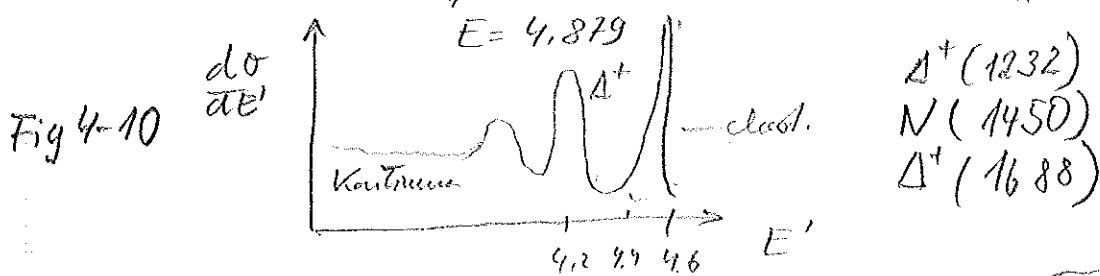


- Proton bleibt intakt
- bis auf Rückstoß verliert Elektron keine Energie.

Steigert man den Energieübertrag auf das Proton kommt es zu Anregung unserer Freiheitsgrade und der Ausbildung von Nukleon-Resonanzen. (s. Fig 4.10). Die typische Breite der Resonanzen, z.B.  $\Gamma \approx 120 \text{ MeV}$  für  $\Delta^+$ , korrespondiert zu Lebensdauern der Zustände von  $5,5 \cdot 10^{-24} \text{ s}$ , d.h. sie zerfallen extrem schnell was auf die starke WW hindeutet. Typ. Zerfallskanäle der Resonanzen sind:

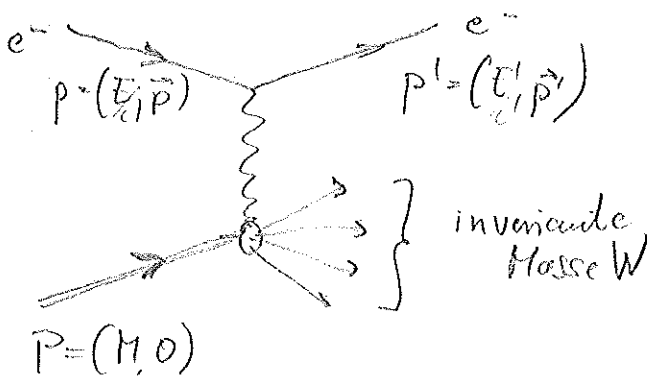


Steigert man den Energieübertrag weiter,  $\nu = E - E' > \text{Bindungsenergie des Protons}$  (s. Abb Fig 4.10) so kommt man in den Bereich eines „Kontinuums“: Das Proton „bricht auf“.



#### a) Kinematik inelastischer e-Nukleon-Streuung

$C_{111}$  Problem



$P = (M, 0)$

(Ruhesystem des Protons)

Energieübertrag:  $\nu = E - E'$   
 Inv. Masse:  $W^2 = M^2 + 2Pq + q^2$   
 bzw mit  $2Pq = 2M\nu$

$\Rightarrow$  Ge(\*)  $q^2 = W^2 - M^2 - 2M\nu = 1 - Q^2 < 0$

(i) elastische Streuung:  $W = M$   
 aus GE(\*) folgt:  $\frac{Q^2}{2Mv} = 1$

(ii) inelast. Streuung:  $W > M$

$$2Mv - Q^2 > 0 \quad \text{bzw mit } x_{Bj} = \frac{Q^2}{2Mv}$$

$$0 < x_{Bj} < 1 \quad (\leftarrow \text{elast.})$$

Die Variable  $x_{Bj}$  nennt man Bjorken-Skalenvariable.  
 Sie ist ein Maß für die Inelastizität des Streuprozesses.

Im Falle inelastischer Streuprozesse sind zur Festlegung der Kinematik 2 Variablen notwendig:  
 z.B:  $(\theta, E')$ ,  $(Q^2, \nu)$ ,  $(Q^2, x)$  oder andere Paare.

### b.) WQ für die tiefinelastische Streuung

Elast. Streuung zweier plattformiger Spin  $\frac{1}{2}$  Teilchen

$$\left(\frac{d\sigma}{d\Omega}\right)_{\text{Dirac}} = \left(\frac{d\sigma}{d\Omega}\right)_{\text{Mott}} \cdot \left(1 + 2\tau \tan^2 \frac{\theta}{2}\right)$$

mit  $\tau = \frac{Q^2}{4M^2c^2}$

Inelast. Streuung  $\rightarrow$  „inelastische Formfaktoren“ = Strukturwert,

$$W_1(Q^2, \nu) \quad \text{und} \quad W_2(Q^2, \nu)$$

$$\textcircled{*} \quad \frac{d\sigma}{d\Omega dE'} = \left(\frac{d\sigma}{dQ^2}\right)_{\text{Mott}} \left( W_2(Q^2, \nu) + 2W_1(Q^2, \nu) \tan^2 \frac{\theta}{2} \right)$$

$\uparrow$   
 $d\nu = dE'$

Heute verwendet man statt der dimensionsbehafteten Fkt.

$W_1$  und  $W_2$  dimensionslose Strukturwert:

$$F_2(x, Q^2) = Mc^2 W_2(Q^2, \nu)$$

$$F_2(x, Q^2) = \nu W_1(Q^2, \nu)$$

c) Experiment.

M. Breidenbach et al. (MIT + SLAC) 1969  
 20 GeV, SLAC Linear Collider ( $\rightarrow$  Nobelpreis 1996)  
 Friedman, Kendall + Taylor

Fig 4-11  
4-12

$$\left( \frac{d^2\sigma}{d\Omega dt} \right) / \sigma_{\text{Mott}}$$

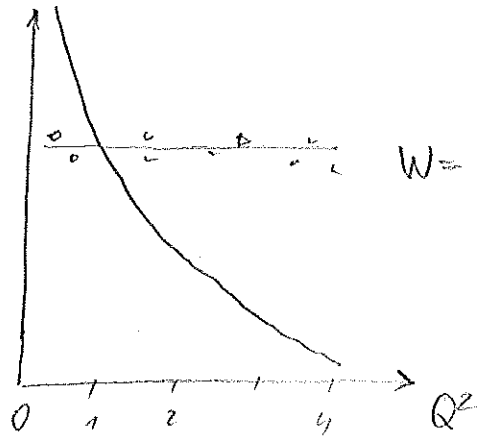
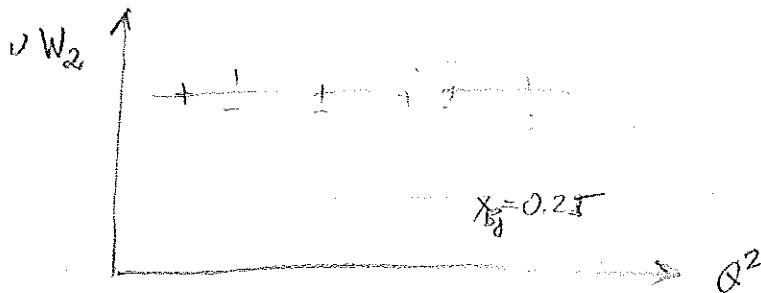


Fig-4-13



Praktisch keine Abh.  
 von  $\nu W_2$  von  $Q^2$ .

|| Man beobachtet nur eine sehr schwache Abh. der Strukturflkt von  $Q^2$ , im Gegensatz zu dem starken  $Q^2$ -Abfall den man aufgrund des Formfaktors der elastischen Streuung erwartet ( $|F(Q^2)|^2 \sim 1/Q^8$ )

Die Strukturflkt.  $W_1, W_2$  bzw.  $F_1, F_2$  weisen keine/bzw. nur sehr geringe Abh. von  $Q^2$  auf sind also alleine Fkt von  $x_B$ .

Wenn aber die Strukturflkt nicht von  $Q^2$  abhängen, sieht man aufgrund obiger Diskriminanten des Formfaktors annehmen, daß man an p.k.f. „strukturelose“ Teilchen streut.

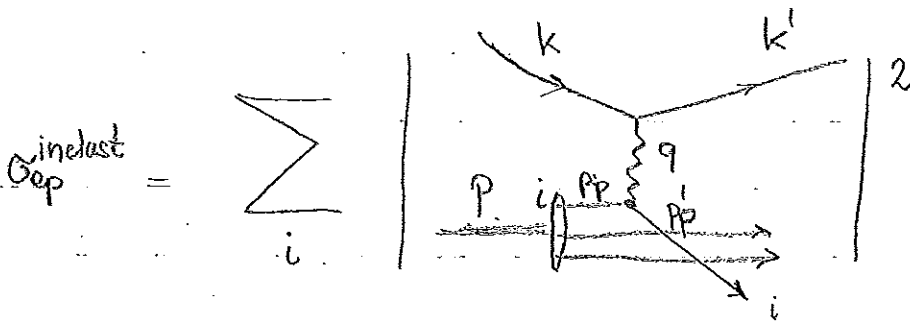
Da das Proton aber ein ausgedehntes Objekt ist, heißt das, daß es eine Substruktur aus p.k.f. Konstituenten besitzt: Partonen

Heute identifiziert man diese Partonen mit den Quarks und Gluonen.

## d) Interpretation der Ergebnisse im Parton-Modell

- Parton-Modell:
- (i) Nukleon besteht aus quasifreien partf. Konstituenten
  - (ii) Elektron streut elast. an diesem Spin  $\frac{1}{2}$  Partonen
  - (iii) Gestreute Partonen wechselwirken "stark" mit anderen Konstituenten und bilden die Beob. Hadronen

## WQ für tiefinelastische ep-Streuung ("Piktogramm"):



## Infinite Momentum Frame IMF

= Bezugssystem in dem Proton unendl. großen Impuls  $\vec{P}$  entlang z-Achse hat.  
 $P = (E, 0, 0, \vec{P})$

Proton kann dann als "Skron" frei, parallel fliegende Partonen betrachtet werden (keine Parton-Parton Wechselw., kein transv. Impuls)

## Parton-Kinematik im IMF

$$P_p = x_p \cdot P \quad x_p = \text{Parton impulsanteil}$$

$$= x_p (E, \vec{P})$$

Invariante Parton-Masse:  $m_p^2 = c^2 \cdot x_p^2 P^2 = x_p^2 M^2$   
 (mit  $M = \text{Protonmasse}$ )

Elastische Streuung im IMF

$$(P_P + q)^2 = P_P'^2 = m_p^2 c^2 \approx 0 \quad \left\{ \begin{array}{l} \text{Wenn man Protonmasse} \\ \text{vernachlässigt gegen } q, \end{array} \right.$$

$$(x_p' P + q)^2 = x_p^2 P^2 + 2x_p P q + q^2 \approx 0$$

$$\left\{ \begin{array}{l} \text{Proton 4-Inputs: } P^2 = M^2 c^2 \text{ (Protonmasse)} \\ 2 P q = 2 M v \text{ (s.o.: im Laborsystem ausgedr.)} \end{array} \right.$$

damit:

$$x_p^2 M^2 c^2 + 2 x_p M v + q^2 = 0$$

$$\text{Mit } |q^2| \gg \underbrace{x_p^2 M^2 c^2}_{\text{vernachlässigbar}} \quad x_p = \frac{-q^2}{2 M v} = \frac{Q^2}{2 M v} =: x_{Bj}$$

D.h. inelastische  $ep$ -Streuung mit einem Bjorken  $x_{Bj} = \frac{Q^2}{2 M v} =: x$  kann als elastische Streuung an einem Parton, das den 4-Inputs-anteil  $x_p = x$  trägt, interpretiert werden (im folgenden nur noch  $x$ ).

Unter der Annahme, daß  $e^-$  elastisch mit den Partonen streut, kann man von „außen“ die Impulsverteilung  $f_i(x)$  der Partonen messen:  $\frac{d\sigma}{dQ^2 dx} \sim f_i(x) \leftarrow$  Impulsverteilung

WQ für elast. e-Parton Streuung mit Impulsanteil  $x$ 

$$\left( \frac{d\sigma}{dQ^2} \right)_{\text{Parton}} = z_i^2 \cdot \left( \frac{d\sigma}{dQ^2} \right)_{\text{Hott}} \left( 1 + \frac{Q^2}{2 m_p^2 c^2} \cdot \tan^2 \frac{\theta}{2} \right)$$

$$\uparrow \text{ Ladung des Partons} \quad = \frac{Q^2}{2 x_p^2 M^2 c^2}$$

→ WR für tiefinelastische ep-Strahlung

$$\left( \frac{d\sigma}{dQ^2 dx} \right)_{ep} = \left( \frac{d\sigma}{dQ^2} \right)_{Mott} \cdot \sum_i z_i^2 f_i(x) \left( 1 + \frac{Q^2}{2x^2 M_e^2} \tan^2 \frac{\theta}{2} \right)$$

mit  $f_i(x) dx =$  Wahrscheinlichkeit  $q_i$  mit  $x \in [x, x+dx]$  zu finden

durch Vergleich mit WR-Formel (\*) auf S. 4-12 und unter

Berücksichtigung des Richtstoßes bei Mott-Formel:  $\left( \frac{d\sigma}{d\Omega} \right)_{\text{mit}} = \left( \frac{d\sigma}{d\Omega} \right)_{\text{ohne}} \frac{E'}{E}$

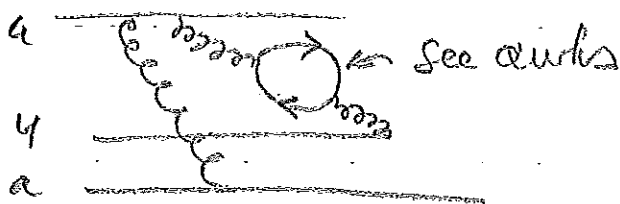
$$\frac{d\sigma}{dQ^2 dx} = \left( \frac{4\pi\alpha^2}{Q^4} \right) \left( \frac{E'}{E} \right) \cos^2 \frac{\theta}{2} \cdot \left( \frac{F_2(x)}{x} + 2 F_1(x) \frac{Q^2}{2x^2 M_e^2} \tan^2 \frac{\theta}{2} \right)$$

$$F_2(x) = x \cdot \sum_i z_i^2 \int_i^q(x)$$

$$\underline{2x F_1(x)} = x \sum_i \dots = \underline{F_2(x)}$$

Callan-Gross-Relation: resultiert aus Spin  $\frac{1}{2}$  Eigenschaft  
von Partonen ( $\propto \tan^2 \frac{\theta}{2}$ )  
Fig. 4-14

Bisher haben wir nur die 3 Valenzquarks ( $u, u, d$ ) berücksichtigt.  
Da zwischen Quarks Gluonen ausgetauscht werden gibt es auch  
sogenannte See-Quarks und Anti-Quarks:

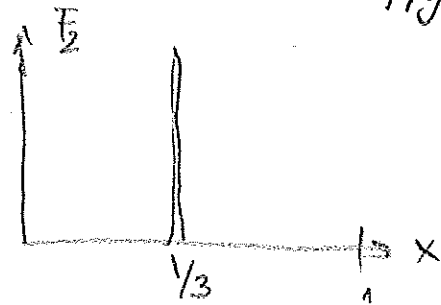
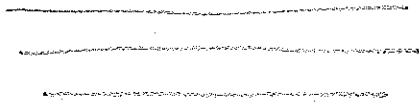


$$\Rightarrow F_2(x) = x \sum_i z_i^2 (f_i^q(x) + f_i^{\bar{q}}(x))$$

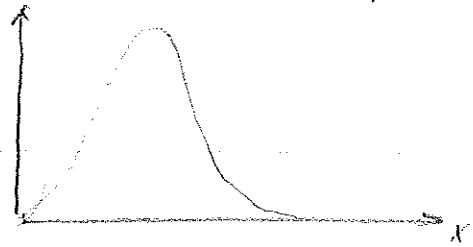
Strukturfunktion  $F_2$  für verschiedene „simple“ Proton-Modelle:

Fig 4-15

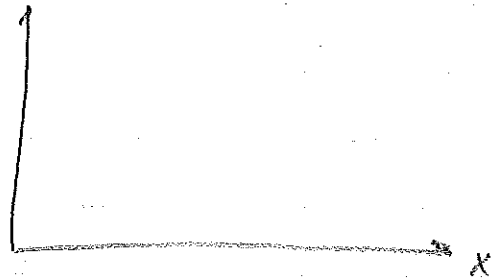
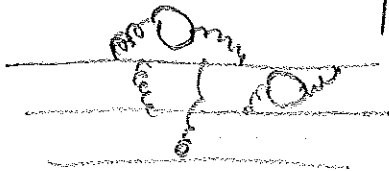
3 nicht-WW Quarks



3 Quarks mit WW



3 Quarks mit WW + Seequarks



Die Strukturform (Partondichtefunktion) des Protons wurde durch eine Vielzahl von Streuexperimenten bestimmt:  $e_p$ ,  $\mu_p$  und  $\nu_p$  Streuung, woraus sich die Valenzquarkverteilung als auch die Seequarkverteilung entnehmen lässt.  $\rightarrow$  Fig. 4-16

- Ergebnis:
- See-Quarks tragen in der Regel sehr kleines  $x$ .
  - Valenzquarkverteilung bei  $x \approx 0.2 \dots 0.3$  gepackt ( $\ll 0.2$ )
  - $\int F_2(x) dx =$  Impulsbruchteil des Protons (Nukleons) der von geladenen Quarks getragen wird:  
 $= 50\%$  des Protonimpulses.
  - $\Rightarrow$  50% des Protonimpulses wird von Gluonen getragen.